



Laboratorium EMVO Sp. J. Urbański, Pawelak  
ul. Jasna 1  
00-013 Warszawa

tel. +48 22 780 29 64  
e-mail: laboratorium@emvo.pl



AB 1630

## Sprawozdanie z pomiarów pól elektromagnetycznych - środowisko ogólne nr 31/06/OŚ/2022– P4-W



<b>Nr i nazwa stacji</b>	<b>MLA3305B</b>	
<b>Adres</b>	<b>Mława, ul. Nowoleśna 6A, pow. mławski, woj. mazowieckie</b>	
<b>Opracowanie</b>	<b>Martyna Karczmarczyk</b>	<b>Specjalista ds. pomiarów</b>
<b>Autoryzacja</b>	<b>Andrzej Urbański</b>	<b>Kierownik Laboratorium</b>
<b>Podpis</b>		
<b>Data</b>	<b>2022-06-15</b>	

## Spis treści

1. Informacje ogólne.....	3
2. Podstawa prawna. ....	3
3. Opis pomiarów.....	4
4. Zróżnicowanie dopuszczalne poziomy pól elektromagnetycznych.....	5
5. Charakterystyka źródeł PEM.....	5
6. Wyniki pomiarów.....	5
7. Stwierdzenie zgodności .....	8
8. Oświadczenie.....	8
9. Spis załączników. ....	8

## 1. Informacje ogólne.

Zleceniodawca	<b>P4 sp. z o.o.,</b> ul. Wynałazek 1, 02-677 Warszawa osoba udzielająca informacji- Monika Bieroza
Istotne informacje dostarczone przez klienta	komplet informacji niezbędnych do wykonania pomiarów i opracowania sprawozdania
Dane otrzymane od klienta mogące mieć wpływ na ważność wyników	Dane anten sektorowych, dane anten radioliniowych, parametry pracy instalacji, poprawka pomiarowa, ustawienie pochylenia anten
Prowadzący instalację	P4 sp. z o.o., ul. Wynałazek 1, 02-677 Warszawa
Lokalizacja obiektu	Mława, ul. Nowoleśna 6A, pow. mławski, woj. mazowieckie
Miejsce instalacji anten	Wieża rurowa
Miejsce instalacji urządzeń	Outdoor
Osoby wykonujące pomiar	Andrzej Figger
Data wykonania pomiaru	15.06.2022
Temperatura na początku pomiaru [°C]	19,0
Temperatura na koniec pomiaru [°C]	19,0
Warunki atmosferyczne	Brak opadów
Wilgotność na początku pomiaru [%]	65,3
Wilgotność na koniec pomiaru [%]	65,3
Godzina na początku pomiaru	10:46
Godzina na koniec pomiaru	12:19
Inne źródła pól elektromagnetycznych oznaczone na załączniku graficznym	Nie występują
Parametry pracy instalacji	Rzeczywisty

## 2. Podstawa prawna.

### 2.1 Normy i rozporządzenia:

- Rozporządzeniem Ministra Klimatu z dnia 17 lutego 2020 r. w sprawie sposobów sprawdzania dotrzymania dopuszczalnych poziomów pól elektromagnetycznych w środowisku (Dz.U. 2020 poz. 258)
- Rozporządzenie Ministra Zdrowia z dnia 17 grudnia 2019 r. w sprawie dopuszczalnych poziomów pól elektromagnetycznych w środowisku (Dz.U. 2019 poz. 2448)
- Obwieszczenie Marszałka Sejmu Rzeczypospolitej Polskiej z dnia 19 lipca 2019 r. w sprawie ogłoszenia jednolitego tekstu ustawy - Prawo ochrony środowiska (Dz.U. 2019 poz. 1396)
- Rozporządzenie Ministra Klimatu i Środowiska z dnia 26 maja 2022 r. zmieniające rozporządzenie w sprawie sposobów sprawdzania dotrzymywania dopuszczalnych poziomów pól elektromagnetycznych w środowisku (Dz.U. 2022 poz. 1121).

„Bez pisemnej zgody Laboratorium niniejsze sprawozdanie nie może być powielane inaczej, jak tylko w całości. Ponadto wyniki dotyczą tylko badanych obiektów przywołanych w niniejszym sprawozdaniu z badań”

### 3. Opis pomiarów

Metodologia pomiarowa	Pomiary w oparciu o Rozporządzeniem Ministra Klimatu z dnia 17 lutego 2020 r. w sprawie sposobów sprawdzania dotrzymania dopuszczalnych poziomów pól elektromagnetycznych w środowisku (Dz.U. 2020 poz. 258).
Cel badań	Określenie wartości natężenia pola elektrycznego w miejscach dostępnych dla ludności.
Opis zestawu pomiarowego	Miernik Narda NBM 520, Sonda EF 9091, o zakresie pomiarowym 0,7 V/m 300V/m pracująca w paśmie 80 MHz – 90 GHz, świadectwo wydane przez Laboratorium Wzorców i Metrologii Pola Elektromagnetycznego, Instytut Telekomunikacji, Teleinformatyki i Akustyki Politechniki Wrocławskiej, numer świadectwa: LWIMP/W/081/21, świadectwo ważne do 11.03.2023r. Miernik Narda NBM 520, Sonda EF 9091 pracująca w zakresie temperatury -10°C - +50°C oraz wilgotności 5% - 95%. Niepewność rozszerzona 59,8% przy poziomie ufności 95% z uwzględnieniem współczynnika rozszerzenia k=2.
Wyposażenie pomocnicze	Termohigrometr Bestone, typ: GM1362-EN-00, nr identyfikacyjny 1222436, świadectwo wzorcowania z dn. 03.04.2017r. wydane przez Laboratorium Pomiarowe "MUTECH". Przymiar wstęgowy STABILA, nr seryjny 10721, świadectwo wzorcowania z dn. 19.06.2017r. wydane przez Zespół Laboratoriów wzorcujących Okręgowego Urzędu Miar w Gdańsku. GPS Garmin 64s okresowo sprawdzany w punktach osnowy geodezyjnej klasy 3 na podstawie licencji punktu, zgodnie z procedurą sprawdzeń okresowych IS/PO-16-11/03.
Pomiary zostały wykonane	<ol style="list-style-type: none"><li>1. na głównych i pomocniczych kierunkach pomiarowych, na kierunkach zbliżonych do azymutów anten oraz w dodatkowych pionach pomiarowych zgodnie z wymaganiami pkt 12, 13, 14 i 19 załącznika do rozporządzenia Ministra Klimatu z dnia 17 lutego 2020 r. (Dz. U. 2020, poz. 258),</li><li>2. na obszarze pomiarowym, dla którego, na podstawie uprzednio wykonanych obliczeń uzyskanych od zleceniodawcy, stwierdzono możliwość występowania pól elektromagnetycznych o poziomach zbliżonych do poziomów dopuszczalnych zgodnie z wymaganiami pkt 5 ppkt 2 oraz pkt 13 ppkt 1 załącznika do rozporządzenia Ministra Klimatu z dnia 17 lutego 2020 r. (Dz. U. 2020, poz. 258). Wyniki obliczeń nie uwzględniały parametrów pracy instalacji innych operatorów występujących na obiekcie bądź w obszarze pomiarowym.</li><li>3. w miejscach dostępnych dla ludności.</li><li>4. miejsca niedostępne podczas wykonywania pomiarów wskazane zostały w pkt 6 (tabeli wyniki pomiarów)</li><li>5. wyniki pomiarów uzyskane zostały przy uwzględnieniu poprawki pomiarowej wynoszącej 1,0.</li></ol>
Szczególne warunki podczas wykonywania pomiarów	Pomiary wykonane zostały podczas obowiązywania w kraju stanu epidemii, zgodnie z art. 122a ust. 1b Ustawy z dnia 27 kwietnia 2001 r. – Prawo ochrony środowiska (Dz. U. z 2019 r. poz. 1396, z późn. zm.9))
Warunki pracy urządzeń nadawczych	Podczas pomiarów zostały uwzględnione poprawki pomiarowe przekazane przez zleceniodawcę, umożliwiające uwzględnienie maksymalnych parametrów pracy instalacji zgodnie z pkt 7 załącznika do Rozporządzeniem Ministra Klimatu z dnia 17 lutego 2020 r. w sprawie sposobów sprawdzania dotrzymania dopuszczalnych poziomów pól elektromagnetycznych w środowisku (Dz. U. 2020, poz. 258).

#### 4. Zróźnicowanie dopuszczalne poziomy pól elektromagnetycznych.

Zakresy znajdują się w Dzienniku Ustaw z dnia 17 grudnia 2019 r. przedstawione są w tabeli nr 2 (Dz. U. z 2019r. poz. 2448).

Parametr fizyczny	Składowa elektryczna E (V/m)	Składowa magnetyczna H (A/m)	Gęstość mocy S (W/m <sup>2</sup> )
Zakres Częstotliwości pola elektromagnetycznego			
od 400 MHz do 2000 MHz	$1,375 \times f^{0,5}$	$0,0037 \times f^{0,5}$	f / 200
od 2 GHz do 300 GHz	61	0,16	10

#### 5. Charakterystyka źródeł PEM.

Zgodnie z informacją otrzymaną od Klienta pomiary zostały wykonane przy ustawieniach pochylenia anten zgodnych z pkt. 13, ppkt 2 załącznika do rozporządzenia Ministra Klimatu z dnia 17 lutego 2020 roku.

Tabela 1. Anteny sektorowe - dane otrzymane od klienta

Charakterystyka promieniowania		kierunkowa														
Rzeczywisty czas pracy [h/dobę]		24														
Rodzaj wytwarzanego pola		stacjonarne														
L p	Wyszczególnienie	sektor 1					sektor 2					sektor 3				
I Nadajnik stacji bazowej:																
1	Typ / Producent	DBS/RBS / Overlay Huawei/Ericsson														
2	Częstotliwość (pasmo) MHz	2100	1800	900	2600	800	2100	1800	900	2600	800	2100	1800	900	2600	800
3	Maksymalna moc nadawana na sektor [dBm]	52,04	52,04	46,02	52,04	46,02	52,04	52,04	46,02	52,04	46,02	52,04	52,04	46,02	52,04	46,02
II Obciążenie:																
1	Typ anteny	Huawei ATR4518R6			Huawei ATR4518R6			Huawei ATR4518R6			Huawei ATR4518R6			Huawei ATR4518R6		
2	Producent anteny	Huawei			Huawei			Huawei			Huawei			Huawei		
3	Ilość anten	1			1			1			1			1		
4	Azymut	25					130					270				
5	Zakres kątów pochylenia anten [°]	0,00-10,00					0,00-10,00					0,00-10,00				
6	Wysokość zainst. n.p.t. [m]	38,20					38,20					38,20				
7	EIRP [W]	18813			11812			18813			11812			18813		

Tabela 2. Anteny radioliniowe- dane otrzymane od klienta

Charakterystyka promieniowania				kierunkowa			
Rzeczywisty czas pracy [h/dobę]				24			
Rodzaj wytwarzanego pola				stacjonarne			
Lp	Linia radiowa			Antena			
	typ/producent	częstotliwość pracy [GHz]	moc wyjściowa [dBm]	typ/producent	średnica anteny [m]	azymut [°]	wysokość zainstal. [m]
1	MINI-LINK/ERICSSON	23	27	ANT3 B 0.6 23 HP/HPX/Ericsson	0,6	60	36,30
2	OPTIX RTN/HUAWEI	80	18	VHLP1-80/Andrew	0,3	144	36,30
3	OPTIX RTN/HUAWEI	80	18	VHLP1-80/Andrew	0,3	196	36,30

## 6. Wyniki pomiarów.

Wyniki pomiarów pól elektromagnetycznych dla celów ochrony środowiska przedstawia poniższa tabela. Piony pomiarowe zostały przedstawione w zał. 2.

Nr PP	Pole-E [V/m]	Pole-E *kE, +U [V/m]	Pole-H [A/m]	Pole-H *kE +U [A/m]	Wys. pomiaru [m]	Opis pionu	Uwagi	WM <sub>E</sub>	WM <sub>H</sub>
1	1,9	3,04	0,005	0,008	0,3-2,0	N:53°07'19.4" E:20°22'55.3"	otoczenie stacji bazowej - 50m wzdłuż gł. osi promieniowania - GKP	0,108	0,110
2	1,6	2,56	0,004	0,007	0,3-2,0	N:53°07'21.2" E:20°22'56.5"	otoczenie stacji bazowej - 100m wzdłuż gł. osi promieniowania - GKP	0,091	0,093
3	1,3	2,08	0,003	0,006	0,3-2,0	N:53°07'22.6" E:20°22'57.6"	otoczenie stacji bazowej - 150m wzdłuż gł. osi promieniowania - GKP	0,074	0,075
4	0,9	1,44	0,002	0,004	0,3-2,0	N:53°07'24.4" E:20°22'58.5"	otoczenie stacji bazowej - 200m wzdłuż gł. osi promieniowania - GKP	0,051	0,052
5	1,2	1,92	0,003	0,005	0,3-2,0	N:53°07'25.6" E:20°22'59.4"	otoczenie stacji bazowej - 250m wzdłuż gł. osi promieniowania - GKP	0,068	0,070
6	1,6	2,56	0,004	0,007	0,3-2,0	N:53°07'26.7" E:20°23'00.8"	otoczenie stacji bazowej - 300m wzdłuż gł. osi promieniowania - GKP	0,091	0,093
7	1,9	3,04	0,005	0,008	0,3-2,0	N:53°07'27.8" E:20°23'02.1"	otoczenie stacji bazowej - 350m wzdłuż gł. osi promieniowania - GKP	0,108	0,110
8	1,8	2,88	0,005	0,008	0,3-2,0	N:53°07'28.8" E:20°23'02.9"	otoczenie stacji bazowej - 385m wzdłuż gł. osi promieniowania - GKP	0,103	0,105
9	1,3	2,08	0,003	0,006	0,3-2,0	N:53°07'16.8" E:20°22'56.3"	otoczenie stacji bazowej - 50m wzdłuż gł. osi promieniowania - GKP	0,074	0,075
10	1,1	1,76	0,003	0,005	0,3-2,0	N:53°07'16.2" E:20°22'58.6"	otoczenie stacji bazowej - 150m wzdłuż gł. osi promieniowania - GKP	0,063	0,064
11	1,4	2,24	0,004	0,006	0,3-2,0	N:53°07'11.3" E:20°23'07.3"	otoczenie stacji bazowej - 200m wzdłuż gł. osi promieniowania - GKP	0,080	0,081
12	1,0	1,60	0,003	0,004	0,3-2,0	N:53°07'10.1" E:20°23'09.8"	otoczenie stacji bazowej - 350m wzdłuż gł. osi promieniowania - GKP	0,057	0,058
13	0,8	1,28	0,002	0,003	0,3-2,0	N:53°07'18.2" E:20°22'48.2"	otoczenie stacji bazowej - 385m wzdłuż gł. osi promieniowania - GKP	0,046	0,046
14	1,8	2,88	0,005	0,008	0,3-2,0	N:53°07'18.8" E:20°22'44.9"	otoczenie stacji bazowej - 100m wzdłuż gł. osi promieniowania - GKP	0,103	0,105
15	1,5	2,40	0,004	0,006	0,3-2,0	N:53°07'18.7" E:20°22'42.6"	otoczenie stacji bazowej - 150m wzdłuż gł. osi promieniowania - GKP	0,086	0,087
16	1,5	2,40	0,004	0,006	0,3-2,0	N:53°07'18.5" E:20°22'39.1"	otoczenie stacji bazowej - 200m wzdłuż gł. osi promieniowania - GKP	0,086	0,087
17	1,2	1,92	0,003	0,005	0,3-2,0	N:53°07'19.2" E:20°22'56.1"	otoczenie stacji bazowej - 275m wzdłuż gł. osi promieniowania - GKP	0,068	0,070
18	1,2	1,92	0,003	0,005	0,3-2,0	N:53°07'15.8" E:20°22'56.7"	otoczenie stacji bazowej - 50m wzdłuż gł. osi promieniowania - GKP	0,068	0,070
19	0,8	1,28	0,002	0,003	0,3-2,0	N:53°07'13.8" E:20°22'51.8"	otoczenie stacji bazowej - 100m wzdłuż gł. osi promieniowania - GKP	0,046	0,046
20	0,8	1,28	0,002	0,003	0,3-2,0	N:53°07'17.9" E:20°22'56.7"	otoczenie stacji bazowej - 150m wzdłuż gł. osi promieniowania - GKP	0,046	0,046
21	1,1	1,76	0,003	0,005	0,3-2,0	N:53°07'16.6" E:20°23'02.2"	otoczenie stacji bazowej - GKP	0,063	0,064

„Bez pisemnej zgody Laboratorium niniejsze sprawozdanie nie może być powielane inaczej, jak tylko w całości. Ponadto wyniki dotyczą tylko badanych obiektów przywołanych w niniejszym sprawozdaniu z badań”

22	0,8	1,28	0,002	0,003	0,3-2,0	N:53°07'13.4" E:20°22'58.8"	otoczenie stacji bazowej - GKP	0,046	0,046
23	1,0	1,60	0,003	0,004	0,3-2,0	N:53°07'16.2" E:20°22'52.0"	otoczenie stacji bazowej - GKP	0,057	0,058
24	1,9	3,04	0,005	0,008	0,3-2,0	N:53°07'19.7" E:20°22'52.5"	otoczenie stacji bazowej - GKP	0,108	0,110
25	1,3	2,08	0,003	0,006	0,3-2,0	N:53°07'21.5" E:20°22'49.4"	otoczenie stacji bazowej - GKP	0,074	0,075
26	1,5	2,40	0,004	0,006	0,3-2,0	N:53°07'20.4" E:20°22'53.3"	otoczenie stacji bazowej - GKP	0,086	0,087
A	1,9	3,04	0,005	0,008	0,3-2,0	N:53°07'19.9" E:20°22'55.2"	Nowoleśna 8, pomiar przed budynkiem -DPP	0,108	0,110
B	1,2	1,92	0,003	0,005	0,3-2,0	N:53°07'18.9" E:20°22'57.5"	Nowoleśna 6a, pomiar przed budynkiem -DPP	0,068	0,070
C	0,9	1,44	0,002	0,004	0,3-2,0	N:53°07'17.2" E:20°22'58.5"	Nowoleśna 6b, pomiar przed bramą -DPP	0,051	0,052
D	0,8	1,28	0,002	0,003	0,3-2,0	N:53°07'16.3" E:20°22'57.4"	Nowoleśna 6b, pomiar przed budynkiem -DPP	0,046	0,046
E	1,8	2,88	0,005	0,008	0,3-2,0	N:53°07'17.4" E:20°22'56.3"	Magazyn, pomiar przed budynkiem -DPP	0,103	0,105
F	0,7*	1,28	0,002	0,003	0,3-2,0	N:53°07'17.3" E:20°22'53.2"	Nowoleśna 6, pomiar przed budynkiem -DPP	0,046	0,046
G	0,9	1,44	0,002	0,004	0,3-2,0	N:53°07'15.6" E:20°22'55.1"	Załęskiego 2b, pomiar przed budynkiem -DPP	0,051	0,052
H	1,1	1,76	0,003	0,005	0,3-2,0	N:53°07'15.4" E:20°22'54.2"	Załęskiego 2a, pomiar przed budynkiem -DPP	0,063	0,064
I	1,9	3,04	0,005	0,008	0,3-2,0	N:53°07'16.4" E:20°22'52.5"	Nowoleśna 4, pomiar przed budynkiem -DPP	0,108	0,110
J	2,0	3,20	0,005	0,008	0,3-2,0	N:53°07'15.2" E:20°22'52.2"	Nowoleśna 2, pomiar przed budynkiem -DPP	0,114	0,116
K	0,9	1,44	0,002	0,004	0,3-2,0	N:53°07'20.2" E:20°22'59.1"	Zakład, pomiar przed bramą -DPP	0,051	0,052
L	1,9	3,04	0,005	0,008	0,3-2,0	N:53°07'16.8" E:20°22'52.0"	Nowoleśna 3, pomiar przed bramą -DPP	0,108	0,110
M	1,4	2,24	0,004	0,006	0,3-2,0	N:53°07'14.6" E:20°23'00.2"	Wójtostwo 77a, pomiar przed bramą -DPP	0,080	0,081
N	1,5	2,40	0,004	0,006	0,3-2,0	N:53°07'14.3" E:20°23'01.1"	Wójtostwo 72, pomiar przed bramą -DPP	0,086	0,087
O	1,4	2,24	0,004	0,006	0,3-2,0	N:53°07'12.8" E:20°23'04.8"	Sucharskiego 7, pomiar przed bramą -DPP	0,080	0,081
P	1,3	2,08	0,003	0,006	0,3-2,0	N:53°07'10.8" E:20°23'06.3"	Lawicz-Liszki 5, pomiar przed bramą -DPP	0,074	0,075
R	1,2	1,92	0,003	0,005	0,3-2,0	N:53°07'10.7" E:20°23'07.2"	Lawicz-Liszki 7, pomiar przed bramą -DPP	0,068	0,070
S	1,5	2,40	0,004	0,006	0,3-2,0	N:53°07'10.8" E:20°23'08.4"	Lawicz-Liszki 9, pomiar przed budynkiem -DPP	0,086	0,087
T	1,5	2,40	0,004	0,006	0,3-2,0	N:53°07'12.7" E:20°23'05.7"	Sucharskiego 5, pomiar przed bramą -DPP	0,086	0,087
U	1,8	2,88	0,005	0,008	0,3-2,0	N:53°07'18.2" E:20°22'47.1"	Spacerowa 8a, pomiar przed budynkiem -DPP	0,103	0,105
W	1,6	2,56	0,004	0,007	0,3-2,0	N:53°07'18.6" E:20°22'39.3"	Kopernika 24, pomiar przed bramą -DPP	0,091	0,093
V	1,5	2,40	0,004	0,006	0,3-2,0	N:53°07'18.2" E:20°22'39.1"	Kopernika 22, pomiar przed bramą -DPP	0,086	0,087
X	1,0	1,60	0,003	0,004	0,3-2,0	N:53°07'18.6" E:20°22'37.7"	Kopernika 59, pomiar przed budynkiem -DPP	0,057	0,058
Y	1,0	1,60	0,003	0,004	0,3-2,0	N:53°07'18.7" E:20°22'35.9"	Klickiego 10, pomiar przed bramą -DPP	0,057	0,058
	0,8	1,28	0,002	0,003	0,3-2,0		Klickiego 8, pomiar przed bramą -DPP	0,046	0,046
Z	0,7*	1,28	0,002	0,003	0,3-2,0	N:53°07'18.8" E:20°22'34.4"	Klickiego 6, pomiar przed bramą -DPP	0,046	0,046
A1	0,8	1,28	0,002	0,003	0,3-2,0	N:53°07'20.8" E:20°23'01.3"	Budynek bez adresu, pomiar przed budynkiem -DPP	0,046	0,046

Wynik pomiaru pole - E [V/m] - maksymalna wartość chwilowa zmierzona w danym pionie pomiarowym (uśredniona na podstawie punktu 11 Załącznika do Rozporządzenia Ministra Zdrowia).

Przyjęto najniższą dopuszczalną wartość składowej elektrycznej pola dla objętego pomiarami zakresu częstotliwości  $\min(ME_{gr})= 28 \text{ V/m}$  oraz składowej magnetycznej  $\min(MH_{gr})= 0,073 \text{ A/m}$ .

\* - wartość zmierzona poniżej zakresu akredytacji. Do obliczeń przyjęto wartość zgodną z dolną granicą akredytowanego zakresu pomiarowego metody.

GKP - główne kierunki pomiarowe

PKP - pomocnicze kierunki pomiarowe

DPP - dodatkowe punkty pomiarowe

PP - pion pomiarowy

U - niepewność pomiarowa rozszerzona, przy poziomie ufności 95%, z uwzględnieniem współczynnika rozszerzenia  $k=2$

kE - poprawka pomiarowa badanej instalacji radiokomunikacyjnej ( $kE=1,0$ )

WM<sub>E</sub> - wartość wskaźnikowa poziomu emisji pól elektromagnetycznych dla miejsc dostępnych dla ludności dla składowej elektrycznej pola

WM<sub>H</sub> - wartość wskaźnikowa poziomu emisji pól elektromagnetycznych dla miejsc dostępnych dla ludności dla składowej magnetycznej pola

## 7. Stwierdzenie zgodności

Na podstawie wytycznych podanych w Rozporządzeniu Ministra Zdrowia z dnia 17 grudnia 2019 r. w sprawie dopuszczalnych poziomów pól elektromagnetycznych w środowisku (Dz.U. 2019 poz. 2448) oraz sposobów sprawdzania dotrzymania tych poziomów zgodnie z Rozporządzeniem Ministra Klimatu z dnia 17 lutego 2020 r. w sprawie sposobów sprawdzania dotrzymania dopuszczalnych poziomów pól elektromagnetycznych w środowisku (Dz.U. 2020 poz. 258) dotyczących źródła wymagań, które muszą być spełnione (załącznik do rozporządzenia Ministra Klimatu z dnia 17 lutego 2020 r. (poz. 258)), w oparciu o zasadę podejmowania decyzji zgodną z pkt 26 załącznika do rozporządzenia Ministra Klimatu z dnia 17 lutego 2020 r. (poz. 258), na podstawie wyników pomiarów pól elektromagnetycznych wykonanych w dniu 15.06.2022 stwierdzono, iż w miejscach dostępnych dla ludności, dopuszczalne poziomy pól elektromagnetycznych w środowisku, określone w przepisach wydanych na podstawie art. 122 ust. 1 ustawy z dnia 27 kwietnia 2001 r. – Prawo ochrony środowiska, uznaje się za dotrzymane w obszarze pomiarowym, w którym w wyniku zastosowania sposobu sprawdzenia dotrzymania dopuszczalnych poziomów pól elektromagnetycznych w środowisku, udokumentowano, że żadna z wartości wskaźnikowych nie przekracza wartości 1.

## 8. Oświadczenie.

Wyniki badania odnoszą się wyłącznie do badanego obiektu.

Bez pisemnej zgody sprawozdanie nie może być powielane inaczej, jak tylko w całości.

Uwagi i zastrzeżenia przyjmowane są w formie pisemnej w ciągu 14 dni od daty otrzymania sprawozdania.

## 9. Spis załączników.

Zał. 1. Lokalizacja obiektu.

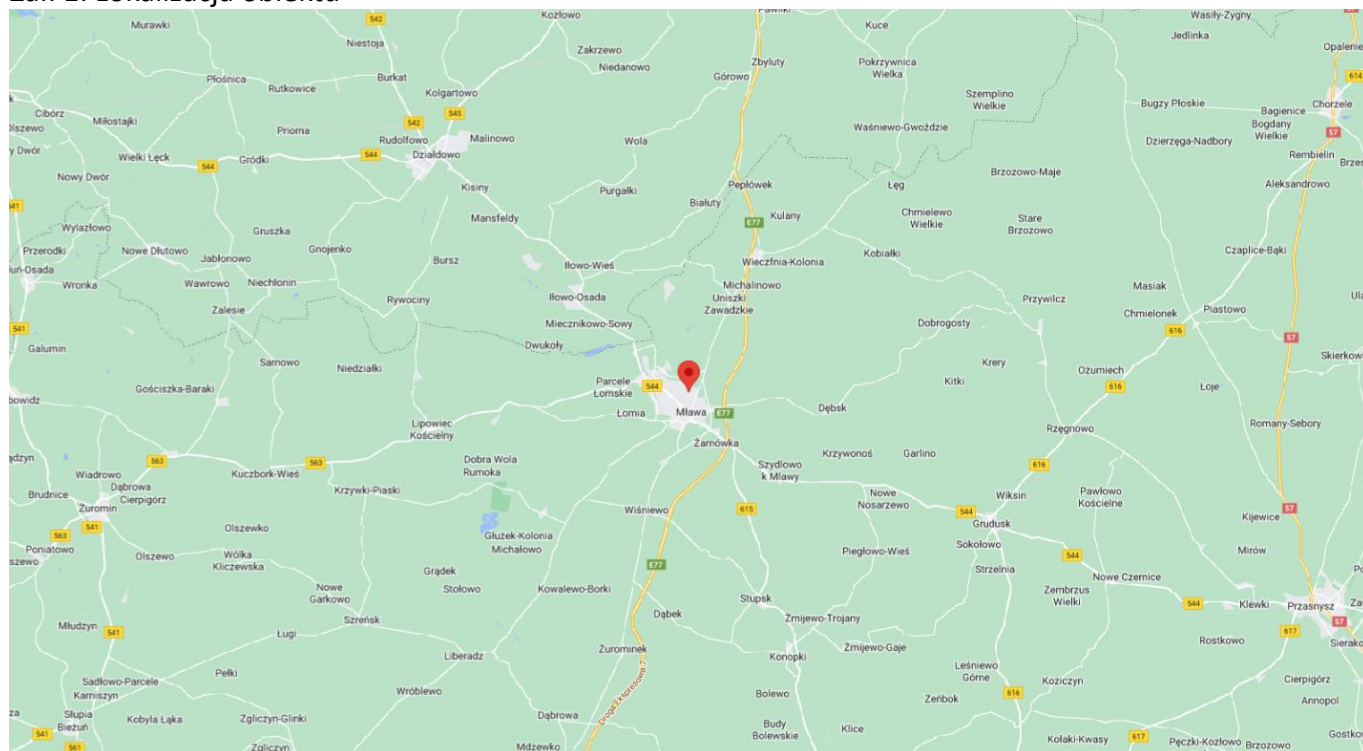
Zał. 2. Widok pionów pomiarowych

Zał. 3. Załączniki graficzne

**Koniec sprawozdania**

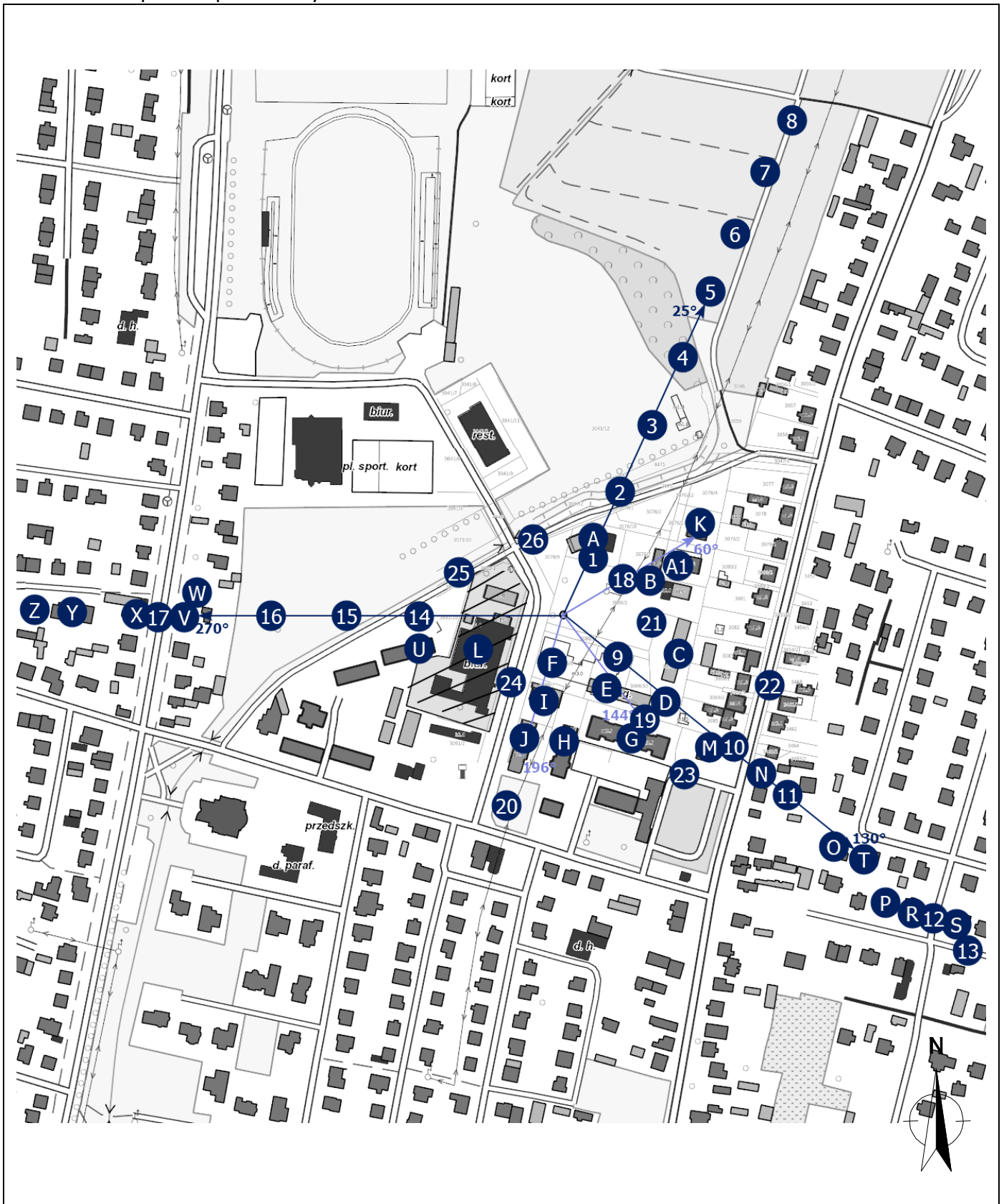


## Zał. 1. Lokalizacja obiektu



Współrzędne geograficzne	
długość:	20°22'54.21"E
szerokość:	53°07'18.05"N

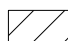
Załącznik 2. Widok pionów pomiarowych




**LEGENDA:**



 inna instalacja radiokomunikacyjna

Odległość, do której zostały wykonane pomiary mierząc od instalacji antenowej wynosi min.: 382 metrów.

 brak dostępu

 pion pomiarowy z poprawką pomiarową (brak innych instalacji radiokomunikacyjnych)

 pion pomiarowy z poprawką pomiarową (w zasięgu innych instalacji radiokomunikacyjnych)

 antena sektorowa  
 antena radioliniowa

Skala: 1:6500



Załącznik 3. Załączniki graficzne.

